

## 大径石礫が散在する河床の抵抗則について

徳島大学 正員 因部健士  
徳島大学 学生員 ○遠水正樹

1. まえがき: 山地河川を特徴づけるものに、河床材料の粒径範囲が非常に大きく、相対水深の小さい流れがあげられる。また、大径の石礫は、通常の出水時ににおいて流送されることはなく、いわゆるイボ型粗度のように平均河床面上に突出し、流水ならびに流砂の運動を著しく阻害している。このような相対粗度の大きい流れにおける抵抗特性は、従来、各種の人工粗度を用いてかなり明らかにされている。しかし、その多くは、固定床におけるものである。また、不規則な粗度配置の抵抗特性についてもまだ不明な点が多い。

本報は、上述のような河床を粗大な円柱と細砂からなる二粒径混合床でモデル化し、その抵抗特性について実験的および理論的に考察するものである。

2. 実験設備: 実験に用いた水路は、幅60cm、深さ40cmの長方形断面を有する長さ14.6mの鋼製、両側面透明アクリルライト張り可変式配水路である。ここに、まず移動しうる細砂と12平均粒径1.8mm、比重2.52の砂を平坦に敷き、ついで、直径6cmの円柱を所定の配置密度かより露出高さで埋め込んでモデル河床を構成した。円柱の配置様式には、ランダム配置と千鳥配置の2種類を用いた。なお、ランダム配置とは、水路全体を方形メッシュで区切り、各メッシュ内に円柱を1個ずつ配置するものとして、その座標を一様乱数を発生させて決定したものである。これらのモデル河床の諸元を表-1に示す。ここで、配置密度: 各円柱の水平面積と河床面積との比。

3. 実験結果: 普通的対数則(1)式  $K_s = \frac{U_m}{U_*} = \frac{1}{K_s} \cdot \ln \left( \frac{H}{k_s} + 6.0 \right)$

を用いて、本実験資料から相当粗度  $K_s$  を求めてプロットしたものが図-1である。ここで、 $S$ : 1個の粗度が受け持つ河床の面積、 $F$ : 粗度要素の流れ方向の投影面積を表わす。

$$\frac{U_m}{U_*} = \frac{1}{K_s} \cdot \ln \left( \frac{H}{k_s} + 6.0 \right) \quad (1)$$

または、円柱の容積分の水量を考慮して平均水深で次式で与えられる。

$$\theta = H \cdot (1 - R_N \cdot V / H) \quad (2)$$

$H$ : 測定水深、 $V$ : 円柱の露出部容積、 $R_N$ :  $N/BL$  で表わされる。

なお、図中には、参考のため平野らの半球と立方体を用いた、固定床人工粗度の実験結果を記入している。さて、本図の範囲内では、粗度要素の配置様式の粗造に起因して抵抗特性の相違は明らかでない。

配置様式	路床名	露出高さ(h) (cm)	配置密度( $\theta$ ) (%)
ラ	1-A-1	2.0	7.1
	1-A-2	4.0	7.1
	1-A-3	6.0	7.1
ン	1-B-1	2.0	13.5
	1-B-2	4.0	13.5
	1-B-3	6.0	13.5
ダ	1-C-1	2.0	28.3
	1-C-2	4.0	28.3
	1-C-3	6.0	28.3
ム	1-D-1	2.0	44.0
	1-D-2	4.0	44.0
	1-D-3	6.0	44.0

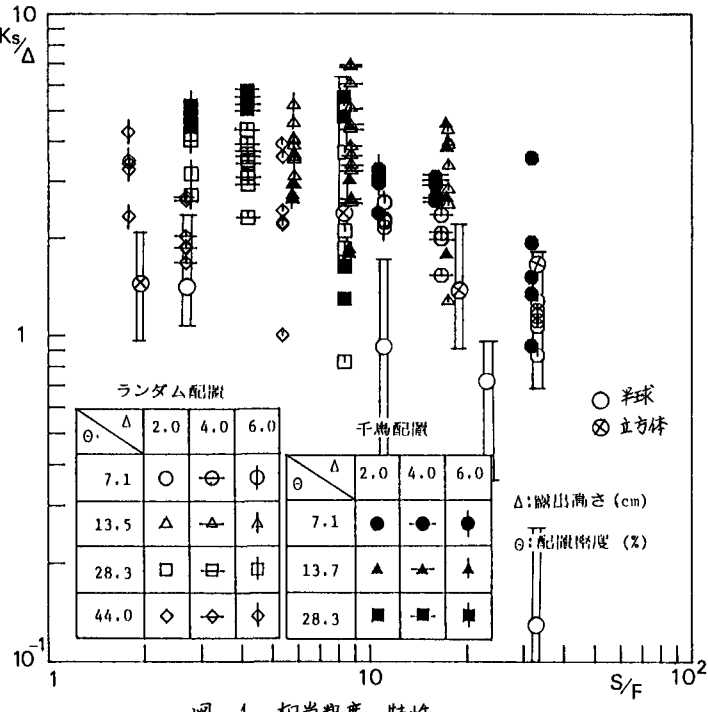
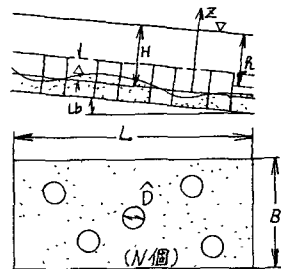


図-1. 相当粗度の特性

また、 $S/F$ 下が8~10で $K_s/\Delta$ がピークを持つようであり、定性的に平野らの実験結果と同様の傾向を示している。ところが、同一の $S/F$ における $K_s/\Delta$ の分散はかなり大きくその原因に興味がもたれる。これには、流砂に伴って生じる砂面凹凸の大半が関係していると考えられ、ヒリスベズとのパラメーターとしての粗度水深やフルード数との関連を検討してみたが、明解な結論に達しなかった。

4. 抵抗則の評価式：図-2に示すように勾配 $\beta$ 、長さ $L$ 、幅 $B$ の河床が $N$ 個の円柱粗度（直径 $D$ ）と粒径 $d$ の均一砂で構成され、粗度の頂点は平均砂面高さか



ら一樣に△だけ露出しているものとする。粗度の大きい流れでは、粗度近傍の鉛直方向の流速分布が普遍的対数則からはずれて一様化の傾向をも  $U/U_* = 1/\phi \cdot \ln[\Delta/d(1+\phi C_*)] + K_1$  (3) といふことが知られている。そのため円柱の頂面より上層と下層に分かれ、上層は、普遍的対数則が成り立つものと考えられる。一方下層の流速分布は、

$$\phi = 0.4 + 5.6 \sin 2\theta \quad \dots (6)$$

柱の密度や砂面状態の直接的影響を受ける極めて  $U_{*e}^2 = \frac{U_*^2}{1 - 5.0 + \frac{1}{2} \cdot C_0 \cdot R_n \cdot \bar{A}_p \cdot (\frac{1}{\phi} \cdot \ln \frac{\Delta}{d(1+\phi C_*)} + 6.0 + \frac{1}{\phi})^2} \quad \dots (7)$

難解なものであるが、直感的な者若者らは、下層部の平均流速と砂面の有効摩擦速度 $U_{*e}$ の関係は、  $d\Delta \leq l : \bar{A}_p = A_p$

(4)式で表現し得るのではないかと考えている。(4)式より  $l \leq d\Delta \leq 2l : \bar{A}_p = A_p \cdot (\frac{1}{2} \cdot \frac{D}{L} - 1) \cdot \frac{D}{L} \cdot (\frac{1}{2} \cdot \frac{2D}{L} + \frac{1}{3} \cdot \frac{L}{2D} - 1) \quad \dots (8)$

り流速分布を逆に求めると、(5)式となる。なお(3)式の  $A_R = \Delta \cdot B \cdot (1 - R_n \cdot V / \Delta)$  (9)

$K_1$ はこの式と(3)式の接続条件より定まる。また $\phi$ に関する(2)式で表現し得るのではないかと考えている。(4)式より  $U_{*e} = \frac{1}{K_0} \left( \ln \frac{H}{\Delta + d(1+\phi C_*)} + \frac{C_0}{H} - 1 \right) + \frac{(1 - \frac{C_0}{H}) A + \frac{A}{H} (1 - R_n V)}{\sqrt{1 - 5.0 + \frac{1}{2} \cdot C_0 R_n \cdot \bar{A}_p \cdot A^2}}$

ここで現在のところ、水山および他の人工粗度に関する研究を参考に(6)式を用いている。さらに、 $U_{*e}$ は、流れに関する力の釣り合式より、(7)式のように求められる。

ここに、 $\bar{A}_p$ は粗度要素1個当たりの形状抵抗に有効な面積であって、 $l ; \sqrt{BL/N}$ 、 $C_0$ ；粗度要素のwake zone長さに関する係数、 $A_p$ ；円柱露出部の流水方向投影面積であると(8)式で求まる。 $\gamma$ ；砂面凹凸や流砂による粗度増加を考慮するための係数 $\gamma$ ；粗度要素の遮蔽領域の広さに関する係数、 $R_n$ ；抵抗係数、以上の諸式を用いて上層、下層部流量を求め流速係数 $U_{*e}/U_*$ を計算する。まず下層の流量は、この領域の平均横断面積 $A_R$ を(9)式で与えられ、(4)式を乗じて求められる。一方上層の流量は、(3)式を用いてこれを $\Delta \sim H$ 間で積分して求められる。これらから流速係数 $U_{*e}/U_*$ が(10)式で与えられる。

なお、上述した諸係数については、模倣検討して次のように決定した。 $\phi = 3$ 、 $\gamma = 1$ 、 $C_0 = 0.7$ 、 $d = 4$ 。

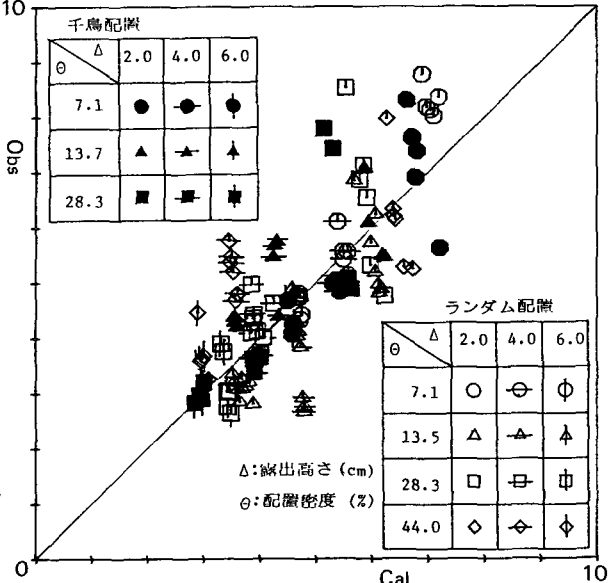


図-3. 計算値と測定値との比較

(10)式を用いて、(1)の計算値とその測定値との相関を示したもののが図-3である。全体的にみて、適合性は良好であると思われる。なお、理論式が河床を平坦と仮定し導かれたものであるため、砂面の凹凸に帰因すると思われる描点のバラツキについては、今後とも検討する必要がある。

〈参考文献〉 1) 球野・岩元; 新砂防110, 2) 水山; 京都大学学位論文, 1977 3) 岡部速水; 第3回年講